

2) Sistemas lineales invariantes. Resposta al impulso

(¿ Por qué nos importa el análisis de Fourier ?)

Consideremos un sistema caracterizado por un operador S ;
mapas de entrada en salidas

En óptica lo anterior puede ser real (Intensidad), compleja
(campo) y de las variables reales indep. (ergotípico)

Sean $p(x_n, y_n)$ y $q(x_n, y_n)$ dos entradas diferentes:

$\underbrace{S\{p(x_n, y_n)\}}_{p_2(x_2, y_2)} \text{ y } \underbrace{S\{q(x_n, y_n)\}}_{q_2(x_2, y_2)} \text{ en respuesta}$

→ Un sistema es lineal si la siguiente propiedad de superposición

se verifica:

$$S\{\alpha p + \beta q\} = \alpha S\{p\} + \beta S\{q\}$$

⇒ En los sistemas lineales podemos expresar la respuesta a una
entrada arbitraria descomponiendo la misma en términos
de funciones elementales:

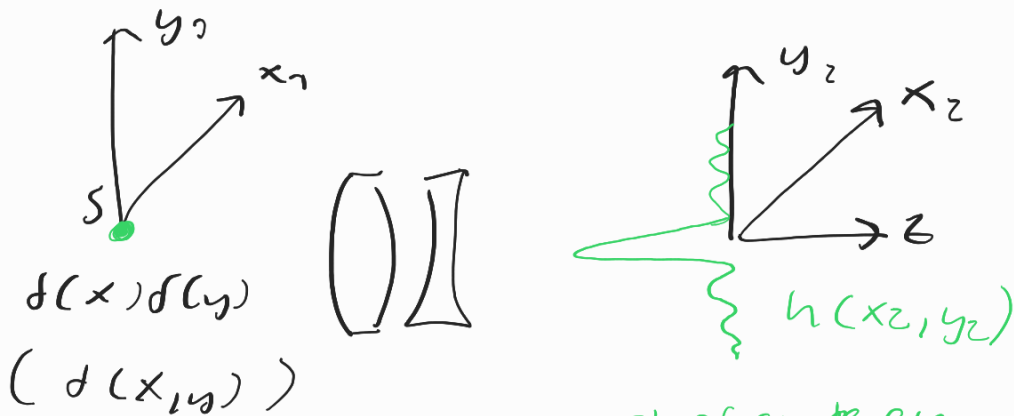
$$g_n(x_n, y_n) = \iint_{-\infty}^{+\infty} g_n(\zeta, \eta) \delta(x_n - \zeta, y_n - \eta) d\zeta d\eta$$

$$\Rightarrow S\{g_n(x_n, y_n)\} = \underbrace{\iint_{-\infty}^{+\infty} g_n(\zeta, \eta) S\{\delta(x_n - \zeta, y_n - \eta)\} d\zeta d\eta}_{g_n(x_n, y_n) \text{ es un número o efecto de } S}$$

$$\iint_{-\infty}^{+\infty} g_n(\zeta, \eta) \underbrace{S\{\delta(x_n - \zeta, y_n - \eta)\}}_{\text{operador } S} d\zeta d\eta$$

$$h(x_2, y_2; \gamma, \eta) = S \{ \delta(x_2 - \gamma, y_2 - \eta) \} :$$

responde al impulso \rightarrow Point Spread Function



→ El efecto de elementos ópticos
se puede describir indicando las
imágenes de fuentes puntuales en
el plano objeto

Sistemas lineales invariantes!

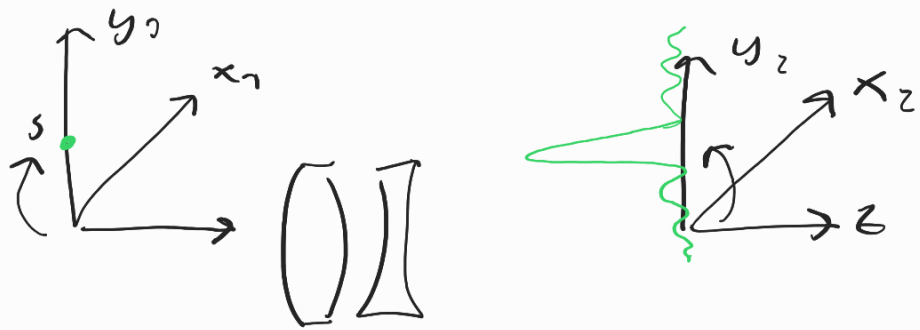
Un sistema lineal es espacialmente invariante (o isoplánatico)

si la PSF depende sólo de las distancias: $x_2 - \gamma, y_2 - \eta$

(distancia entre excitación y respuesta) :

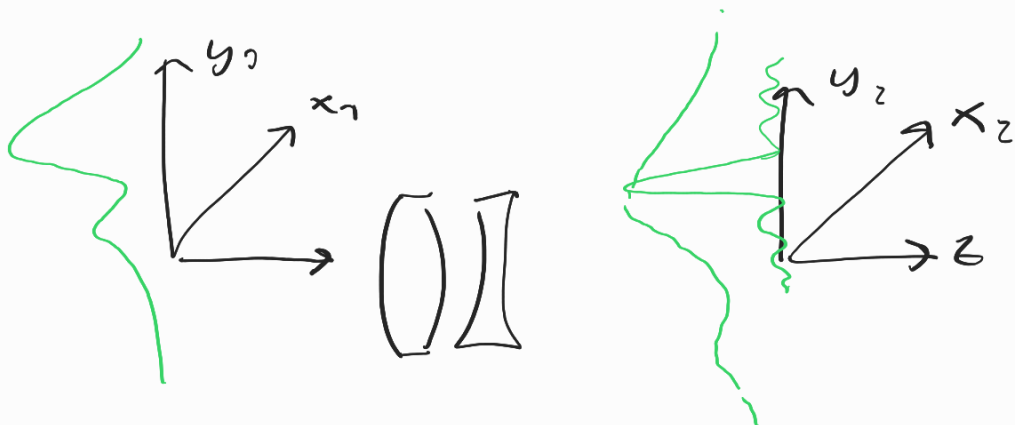
$$h(x_2, y_2; \gamma, \eta) = h(x_2 - \gamma, y_2 - \eta)$$

La imagen de una fuente puntual no cambia en la forma,
tan sólo su posición, a medida que la fuente explaza el
espacio objeto:



La integral de superposición toma luego la siguiente forma:

$$g_z(x_z, y_z) = \iint_{-\infty}^{+\infty} g_r(y_r) h(x_z - r, y_z - r) dy_r dr$$



• Es decir:

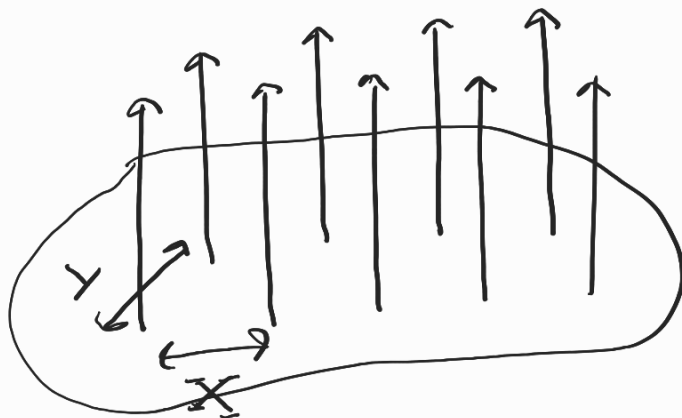
$$g_z(x, y) = (g_r * h)(x, y)$$

• En Fourier:

$$G_z(f_x, f_y) = \underbrace{H(f_x, f_y)}_{\text{función de transferencia que manda los efectos del sistema en frecuencia}} G_r(f_x, f_y)$$

función de transferencia que manda los efectos del sistema en frecuencia

Teoría de muestreo en 2D



La toma de muestras suficientemente próximas permite ver una muestra representativa de la función original.

Pero: puede ser exacto?

Teorema de Whittaker-Shannon

Percepción bidimensional de muestras aplicado a la función g !

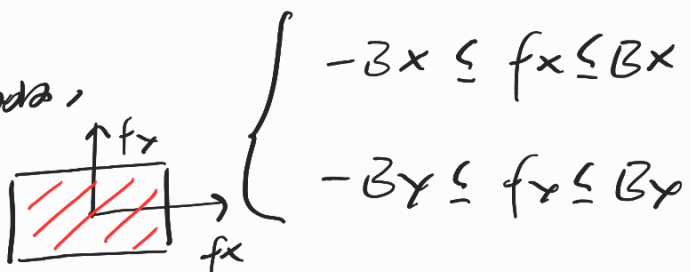
$$g_s(x, y) = \text{III}\left(\frac{x}{\lambda}\right) \text{III}\left(\frac{y}{\lambda}\right) g(x, y)$$

$$\begin{aligned} G_s(f_x, f_y) &= \underbrace{\mathcal{F}\left\{\text{III}\left(\frac{x}{\lambda}\right) \text{III}\left(\frac{y}{\lambda}\right)\right\}} * G(f_x, f_y) \\ &= X Y \text{III}(X f_x) \text{III}(Y f_y) \\ &= \sum_{-\infty}^{+\infty} \sum_{-\infty}^{+\infty} \delta\left(f_x - \frac{n}{\lambda}, f_y - \frac{m}{\lambda}\right) \\ &\uparrow \quad \delta(\alpha_x, \alpha_y) = \frac{1}{|\alpha_x| |\alpha_y|} \delta(x, y) \end{aligned}$$

$$\Rightarrow G_s(f_x, f_y) = \sum_n \sum_m G\left(f_x - \frac{n}{\lambda}, f_y - \frac{m}{\lambda}\right)$$

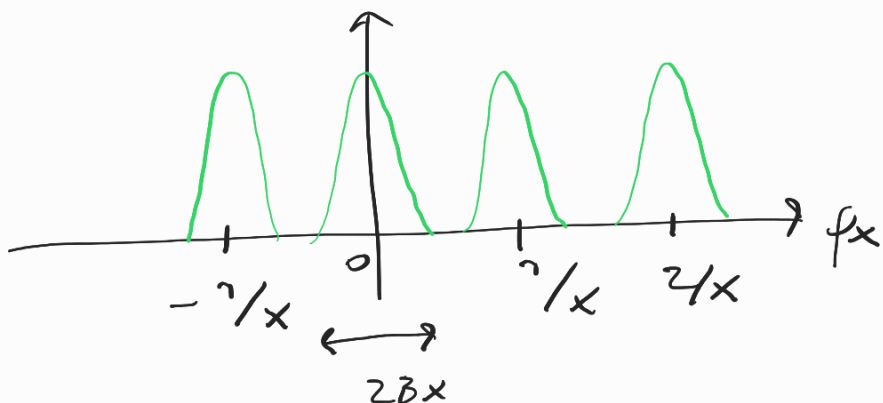
Supongamos g de banda limitada,

$G(f_x, f_y)$ no nulo en:



El espacio de g_s se construye a partir del espacio de g alrededor de los puntos $(n/x, m/y)$

75:



- Para que no haya sobreimpresión entre las copias $\frac{2Bx}{(n)} \leq \frac{1}{X}(Y)$

\Rightarrow el espacio de las imágenes debe ser suficientemente pequeños para asegurar la copia sin sobreimpresión

- Función de Transferencia del filtro ?

Hay muchas opciones, pero como los límites (cartesianos) del espacio, podemos elegir:

$$H(f_x, f_y) = \pi\left(\frac{f_x}{2Bx}\right) \pi\left(\frac{f_y}{2By}\right)$$

$$\Rightarrow G_s(f_x, f_y) \pi\left(\frac{f_x}{2Bx}\right) \pi\left(\frac{f_y}{2By}\right) = G(f_x, f_y)$$

En el espacio :

$$\left[\pi\left(\frac{x}{Bx}\right) \pi\left(\frac{y}{By}\right) g(x, y) \right] * h(x, y) = g(x, y)$$

$$\text{Si es: } h(x, y) = \mathcal{F}^{-1} \left\{ \pi\left(\frac{f_x}{2Bx}\right) \pi\left(\frac{f_y}{2By}\right) \right\} =$$

$$h(x, y) = (2Bx) (2By) \sin((2Bx)x) \sin((2By)y)$$

$$\Rightarrow g(x, y) = \frac{1}{2Bx} \frac{1}{2By} \sum_n \sum_m g(nx, my).$$

↑ $\pi(x/x) = x \sum \delta(x - nx)$

$$\cdot \sin(2Bx(x-nx)) \sin(2By(y-my));$$

Si los intervalos de samples tienen sus máximos valores posibles!

$$g(x, y) = \sum_{-\infty}^{\infty} \sum_{-\infty}^{\infty} g\left(\frac{n}{2Bx}, \frac{m}{2By}\right) \underbrace{\sin(2Bx(x - \frac{n}{2Bx}))}_{\text{interpolar}} \underbrace{\sin(2By(y - \frac{m}{2By}))}_{\text{función de interpolación}}$$

↑ Teorema de Whittaker-Shannon, Ramanuji

- red vect. de samples
- función de transferencia del filtro vect.

② Space-Bandwidth Product (SBP)

$$g \begin{cases} \text{across all bands} & \begin{cases} -Bx \leq fx \leq Bx \\ -By \leq fy \leq By \end{cases} \\ \text{these values significantly solve} & \begin{cases} -Lx \leq x \leq Lx \\ -Ly \leq y \leq Ly \end{cases} \end{cases}$$

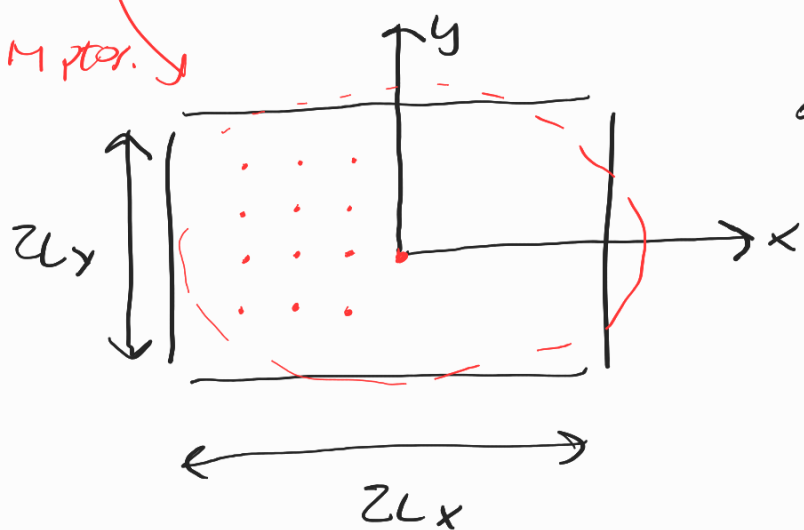
⇒ Para poder representar con buena precisión a g necesario,

al menos:

$$M = \frac{(2L_x)}{(\gamma_{2Bx})} \frac{(2L_y)}{(\gamma_{2By})} = \boxed{\gamma_6 L_x L_y B_x B_y}$$

SBP

Motor.



mide el grado de complejidad
de la señal